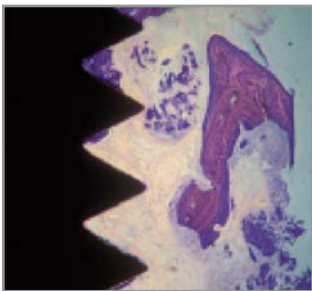
 Имплантат ТЗ®





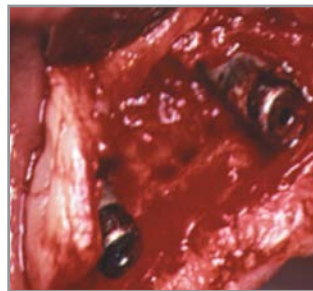
Сохранение Тканей — Ключ К Эстетике

Традиционные Проблемы в Достижении Эстетических Результатов



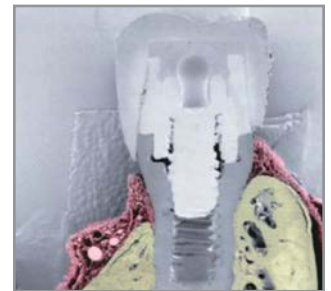
Отсроченная Остеоинтеграция

Имплантаты, у которых отсутствует гибридная¹ поверхность и первичная стабильность требуют больше времени для остеоинтеграции.²



Периимплантит

Известно, что в переднем отделе распространённость имплантатов с периимплантитом превышает 12%.^{3,4}



Атрофия Костной Ткани

Средняя величина ремоделирования костного гребня может превышать 1,5 мм после первого года функционирования, что приводит к ухудшению эстетики.⁵

Имплантат ТЗ Разработан для Достижения Эстетических Результатов Благодаря Сохранению Тканей



Современная Гибридная Поверхность

Комбинация крупной и мелкой шероховатости

Надежная Фиксация

Обеспечивает стабильный и герметичный интерфейс имплантата/абатмента

Интегрированное Переключение Платформ

Обеспечивается медиальным соединением имплантата и абатмента.

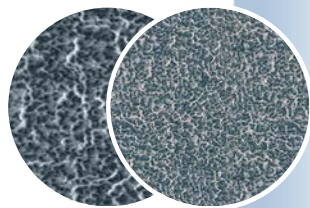


Современная Гибридная Поверхность

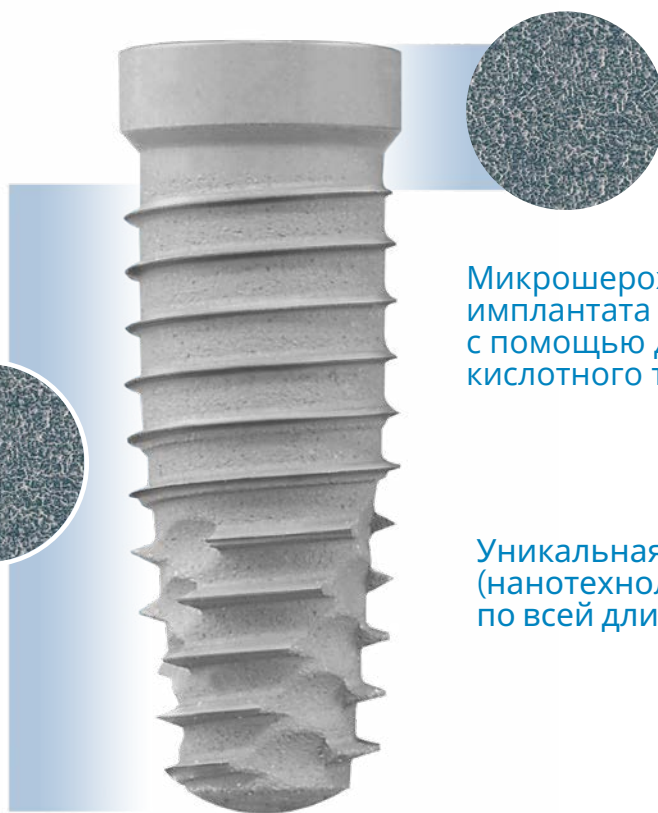
Комбинация крупной и мелкой шероховатости создаёт среднее значение шероховатости поверхности 1,4 мк в резьбовой части имплантата.¹⁴

Крупные и мелкие микронные особенности

Крупные грани +10 мк поверхности получены методом струйной обработки резорбируемым фосфатом кальция



Микрошероховатость 1-3 мк на уже крупных гранях достигнута с помощью двойного протравливания кислотой (DAE) поверх уже струйно обработанной поверхности



Микрошероховатость шейки имплантата 1-3 мк достигнута с помощью двойного кислотного травления (DAE)

Уникальная поверхность DCD® (нанотехнология) по всей длине имплантата



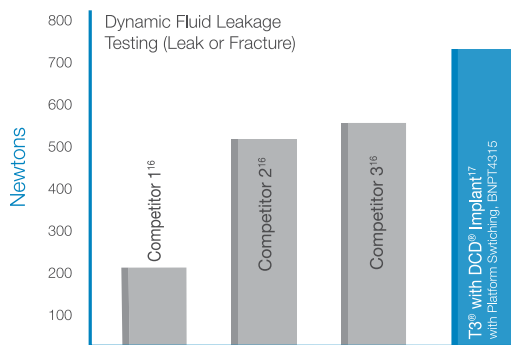


Надежная Фиксация Certain



Прочное Внутреннее Соединение

Стабильный, плотный интерфейс имплантат/абатмент сводит к уменьшению потенциального микроподтекания и снижает микроподвижность абатмента.¹⁵



Результаты доклинических испытаний не обязательно свидетельствуют о клинических показателях.

- Испытание на герметичность было проведено компанией Biomet3i с июля 2011г. по июнь 2012г. Для проверки систем имплантатов разработано и выполнено динамическое испытание на герметичность. Схема испытаний была адаптирована из ISO14801, Стоматология-Имплантаты-Динамические Испытания на усталость внутрикостных зубных имплантатов.
 - Были оценены пять образцов каждой из трёх конкурентных систем имплантатов.
 - Средняя прочность уплотнения (N), при которой каждая из систем дала протекание или трещину, представлена на графике.
- Результаты доклинических испытаний не обязательно свидетельствуют о клинических показателях.

Интегрированная Концепция Переключения Платформ

Уменьшение ремоделирования мягких и твердых тканей по высоте по сравнению с другими производителями.

Интегрированное переключение платформы медиализирует соединение имплантата/абатмента (IAJ) внутрь, создавая биологическую ширину между соединительной тканью и IAJ, помогая поддерживать уровень кости.²⁰

Уменьшение потери костного гребня

Исследования показали, что имплантаты со встроенной функцией переключения платформы продемонстрировали потерю гребневой кости до 0,37 мм*.²¹

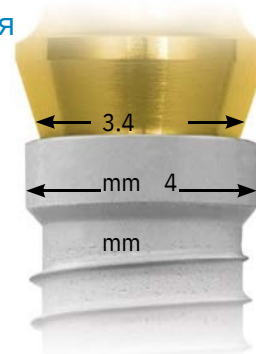
* Результаты не обязательно являются показательными или репрезентативными для всех пациентов-реципиентов.



Изображение любезно предоставлено доктором Ксавьером Вела, Испания.

Уменьшение ремоделирования костного гребня по сравнению с имплантатами без переключения платформ.²²

Медиальное соединение имплантата и абатмента обеспечивает поддержку соединительной ткани, снижая вероятность рецессии на 50%.*



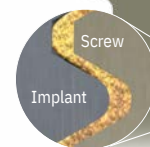
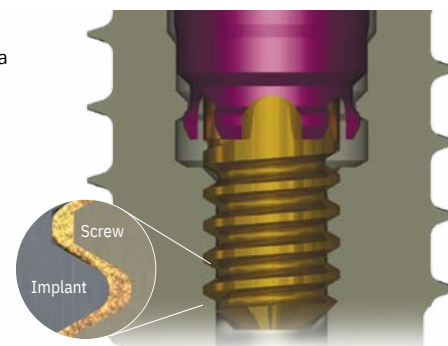
Прочность прилегания имплантата/абатмента

Плотное прилегание поверхностей, глубокая шахта соединения, дополнительное усилие фиксации за счёт использования винта с золотым покрытием Gold-Tite[®] - надёжная гарантия от подтеканий и микроподвижности. Лучшие показатели в тесте на прочность посадки по сравнению с другими производителями.

Сила фиксации имплантата/абатмента

Использование винта Gold-Tite[®] Screw увеличивает надёжную фиксацию имплантата/абатмента Certain[®] на 113% по сравнению с винтом из титанового сплава без покрытия.¹⁸

Запатентованная поверхности Gold-Tite[®] позволяет винту вращаться дальше по сравнению с винтом без покрытия, увеличивая силу фиксации, и обеспечивает максимальную стабильность абатмента.¹⁹





Современный Дизайн Гибридных Имплантатов

Первичная Стабильность^{6,7,8}

Первичный контакт кости с имплантатом является основным фактором стабильности имплантата.⁹ Технические характеристики имплантата ТЗ соответствуют строгим требованиям для обеспечения плотного прилегания имплантата внутри кости, создавая систему зубных имплантатов, которая помогает клиницисту достичь первичной стабильности.

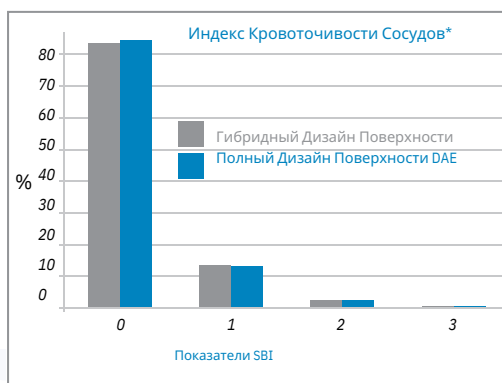
Остеоинтеграция^{10,11}

В доклинических исследованиях* имплантат ТЗ с поверхностью DCD продемонстрировал повышенную прочность интеграции на протяжении всей фазы заживления по сравнению с менее сложными топографиями поверхности других производителей дентальных систем.¹¹

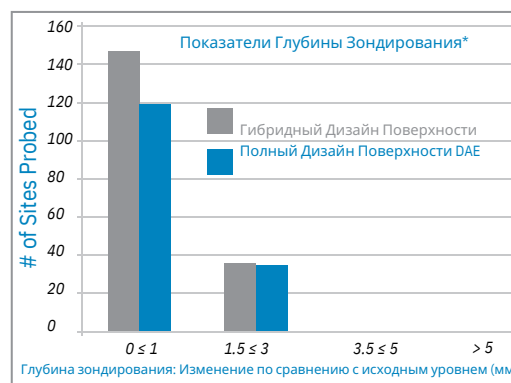
Отсутствие Повышенного Риска Периимплантита^{12,13}

В имплантате ТЗ используется проверенная технология поверхности Osseotite® в коронковой части имплантата. В пятилетнем исследовании** поверхность Osseotite не выявила повышенного риска периимплантита или осложнений со стороны мягких тканей по сравнению с обработанной поверхностью других систем.¹²

Многоцентровое, Рандомизированное Контролируемое 5-летнее Исследование Гибридных И Полностью Протравленных Имплантатов При Заболевании Периимплантитом**.



84% всех оценок SBI были "0" (отсутствие кровотечения); 13% оценок были "1" - изолированное место кровотечения.



Ни один имплантат (тестовый или контрольный) не показал изменения глубины зондирования более чем на 3,0 мм.

Сто двенадцать пациентов, которые были зарегистрированы в семи центрах, получили 139 контрольных и 165 тестовых имплантатов (всего: 304 имплантата).

* Доклинические исследования не обязательно свидетельствуют о клинических показателях

** Zetterqvist et al. Перспективное Многоцентровое, Рандомизированное Контролируемое 5-летнее Исследование Гибридных И Полностью Протравленных Имплантатов При Заболевании Периимплантитом**. J Periodontol April 2010.

Имплантат Т3

Презентация клинического случая

Клиническое лечение доктора Тициано Тестори и доктора Фабио Скутелла



Рисунок 1
Безнадёжные
центральные резцы.



Рисунок 2
Два конических имплантата Т3
5 мм(D) x 4,1 мм(P) x 13 мм(L), установленные
сразу после удаления зуба.



Рисунок 3
Две временных конструкции
PreFormance®, установленных
интраорально.



Рисунок 4
Шинированная временная реставрация из
акриловой пластмассы была
зацементирована на временные абатменты
PreFormance.



Рисунок 5
Один месяц
наблюдения.

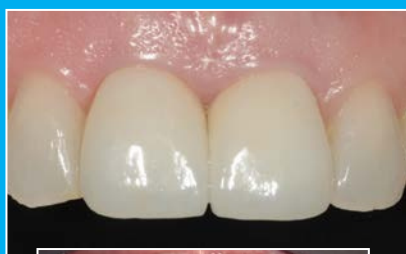


Рисунок 6
Окончательный результат с постоянным
протезом шесть месяцев
после удаления и имплантации.



Рисунок 7
Периапикальный снимок
через шесть месяцев
наблюдения показал
сохранение кости как
дистально, так и
мезиально.



Рисунок 8
Конусно-лучевые изображения через
шесть месяцев.
Обратите внимание, что толщина
лицевой стенки поддерживается на
уровне 2,7 мм.





Справочная информация

1. Sullivan DY, Sherwood RL, Porter SS. Long-term performance of Osseotite® Implants: A 6-year follow-up Compendium. 2001 Apr;Vol.22, No.4.
2. Javed F, Romanos GE. The role of primary stability for successful immediate loading of dental implants. A literature review. J Dent. 2010 Aug;38(8):612-20. Epub 2010 Jun 11. Review.
3. Fransson C, Lekholm U, Jemt T, Berglundh T. Prevalence of subjects with progressive bone loss at implants. Clinical Oral Implants Research. 2005;16:440-446.
4. Zitzmann NU, Berglundh T. Definition and prevalence of peri-implant diseases. J Clin Perio. 2008;35:286-291.
5. Lazzara RJ, Porter SS. Platform Switching: A new concept in implant dentistry for controlling post restorative crestal bone levels. Int J Periodontics Restorative Dent. 2006;26:9-17.
6. Östman PO, Wennerberg A, Ekstubbé A, et al. Immediate occlusal loading of NanoTite™ tapered implants: A prospective 1-year clinical and radiographic study. Clin Implant Dent Relat Res. 2012 Jan 17.
7. Block MSt. Placement of implants into fresh molar sites: Results of 35 cases. J Oral Maxillofac Surg. 2011 Jan;69(1):170-174.
8. Meltzer AM. Immediate implant placement and restoration in infected sites. Int J Periodontics Restorative Dent. 2012 Oct;32(5):e169-173.
9. Meredith N. Assessment of implant stability as a prognostic determinant. Int J Prosthodont. 1998 Sep-Oct;11(5):491-501.
10. Nevins M, Nevins ML, Schupbach P, Fiorellini J, Lin Z, Kim DM. The impact of bone compression on bone-to-implant contact of an osseointegrated implant: A canine study. Int J Periodontics Restorative Dent. 2012 Dec;32(6):637-645.
11. Mendes V, Davies JE. Early Implant healing at implant surfaces of varying topographical complexity. Poster Presentation: Academy of Osseointegration, 26th Annual Meeting; March 2011; Washington, DC. http://biomet3i.com/pdf/Posters/Poster_Early_Perimplant_Healing.pdf.
12. Zetterqvist L, Feldman S, Rötter B, et al. A prospective, multicenter, randomized-controlled 5-year study of hybrid and fully etched implants for the incidence of peri-implantitis. J Periodontol. 2010 April;81:493-501.
13. Lang NP, Berglundh T. Periimplant diseases: Where are we now?-Consensus of the Seventh European Workshop on Periodontology; Working Group 4 of Seventh European Workshop on Periodontology. J Clin Perio. 2011 Mar;38 Suppl 11:178-181.
14. Gubbi P, Towse R. Quantitative and qualitative characterization of various dental implant surfaces. Poster Presentation P421: European Association For Osseointegration, 20th Meeting; October 2012; Copenhagen, Denmark. (http://www.biomet3i.com/Pdf/Posters/Poster_421_EAO_Final.pdf).
15. Lazzara R. Dental implant system design and the potential impact on long-term aesthetics: A review of the T3 Tapered Implant. ART1193EU Biomet 3i White Paper. Biomet 3i, Palm Beach Gardens, Florida, USA. http://biomet3i.com/Pdf/EMEA/ART1193C_T3%20Implant_White_Paper_EU.pdf
16. Suttin et al. A novel method for assessing implant-abutment connection seal robustness. Poster Presentation: Academy of Osseointegration, 27th Annual Meeting; March 2012; Phoenix, AZ. http://biomet3i.com/Pdf/Posters/Poster_Seal%20Study_ZS_AO2012_no%20logo.pdf
17. Suttin Z, Towse R. Dynamic loading fluid leakage characterization of dental implant systems. ART1205EU Biomet 3i White Paper. Biomet 3i, Palm Beach Gardens, Florida, USA. <http://biomet3i.com/Pdf/EMEA/ART1205EU%20Dynamic%20Loading%20T3%20White%20Paper.pdf>
18. Suttin Z, Towse R. Effect of abutment screw design on implant system seal performance. Presented at the European Association for Osseointegration, 20th Annual Scientific Meeting; October 2012; Copenhagen, Denmark. http://biomet3i.com/Pdf/Posters/P-450_Effect_of_Screw_Design_on_Implant_Seal.pdf
19. Byrne D, Jacobs S, O'Connell B, Houston F, Claffey N. Preloads generated with repeated tightening in three types of screws used in dental implant assemblies. J. Prosthodont. 2006 May-Jun;15(3):164-171.
20. Lazzara RJ, Porter SS. Platform switching: A new concept in implant dentistry for controlling postrestorative crestal bone levels. Int J Perio Rest Dent. 2006;26:9-17.
21. Östman PO, Wennerberg A, Albrektsson T. Immediate occlusal loading of NanoTite prevail implants: A prospective 1-year clinical and radiographic study. Clin Implant Dent Relat Res. 2010 Mar;12(1):39-47.
22. Boitel N, Andreoni C, Grunder U, Naef R, Meyenberg K. A three year prospective, multicenter, randomized-controlled study evaluating platform-switching for the preservation of peri-implant bone levels. Poster Presentation P83: Academy of Osseointegration, 26th Annual Meeting; 2011 March 3-5; Washington DC. http://biomet3i.com/Resource%20Center/Publications%20of%20Interest/Platform_Switching_for_the_Preservation_of%20Peri_Implant%20Bone%20Levels.pdf

† Dr. Block, Dr. Goené, Dr. Grunder, Dr. Lazzara, Dr. Makigusa, Dr. Meltzer, Dr. Méndez, Dr. Meyenberg, Dr. Nevins, Dr. Östman, Dr. Rodríguez, Dr. Segalá, Dr. Scutellá, Dr. Tarnow, Dr. Testori and Dr. Vela have financial relationships with Biomet 3i, LLC resulting from speaking engagements, consulting engagements and other retained services.

†† Dr. Gubbi, Mr. Suttin and Mr. Towse contributed to the above research while employed by Biomet 3i.

References 6–10 discuss the Tapered Implant macrodesign, which is incorporated into the T3 Implant. References 10–13 discuss the Osseotite and/or NanoTite Implants' dual acid-etched or DCD technology, which is incorporated into the T3 Implant. References 20–22 discuss PREVAIL® Implants with an integrated platform switching design, which is also incorporated into the T3 Implant.

(D) = Диаметр
(P) = Платформа

Информация для заказа



Корневидные имплантаты



T3

Длина	4.0 mm (D) x 3.4 mm (P)	5.0 mm (D) x 4.1 mm (P)	6.0 mm (D) x 5.0 mm (P)
8.5 mm	BOPT4385	BOPT5485	BOPT6585
10 mm	BOPT4310	BOPT5410	BOPT6510
11.5 mm	BOPT4311	BOPT5411	BOPT6511
13 mm	BOPT4313	BOPT5413	BOPT6513
15 mm	BOPT4315	BOPT5415	BOPT6515



T3 Без Переключения Платформ

Длина	3.25 mm (D) x 3.4 mm (P)	4.0 mm (D) x 4.1 mm (P)	5.0 mm (D) x 5.0 mm (P)	6.0 mm (D) x 6.0 mm (P)
8.5 mm	BOST3285	BOST485	BOST585	BOST685
10 mm	BOST3210	BOST410	BOST510	BOST610
11.5 mm	BOST3211	BOST411	BOST511	BOST611
13 mm	BOST3213	BOST413	BOST513	BOST613
15 mm	BOST3215	BOST415	BOST515	BOST615

T3 DCD

Длина	4.0 mm (D) x 3.4 mm (P)	5.0 mm (D) x 4.1 mm (P)	6.0 mm (D) x 5.0 mm (P)
8.5 mm	BNPT4385	BNPT5485	BNPT6585
10 mm	BNPT4310	BNPT5410	BNPT6510
11.5 mm	BNPT4311	BNPT5411	BNPT6511
13 mm	BNPT4313	BNPT5413	BNPT6513
15 mm	BNPT4315	BNPT5415	BNPT6515

T3 DCD Без Переключения Платформ

Длина	3.25 mm (D) x 3.4 mm (P)	4.0 mm (D) x 4.1 mm (P)	5.0 mm (D) x 5.0 mm (P)	6.0 mm (D) x 6.0 mm (P)
8.5 mm	BNST3285	BNST485	BNST585	BNST685
10 mm	BNST3210	BNST410	BNST510	BNST610
11.5 mm	BNST3211	BNST411	BNST511	BNST611
13 mm	BNST3213	BNST413	BNST513	BNST613
15 mm	BNST3215	BNST415	BNST515	BNST615

Имплантаты с параллельными стенками



T3

Длина	4.0 mm (D) x 3.4 mm (P)	5.0 mm (D) x 4.1 mm (P)	6.0 mm (D) x 5.0 mm (P)
8.5 mm	BOPS4385	BOPS5485	BOPS6585
10 mm	BOPS4310	BOPS5410	BOPS6510
11.5 mm	BOPS4311	BOPS5411	BOPS6511
13 mm	BOPS4313	BOPS5413	BOPS6513
15 mm	BOPS4315	BOPS5415	BOPS6515



T3 Без Переключения Платформ

Длина	3.25 mm (D) x 3.4 mm (P)	4.0 mm (D) x 4.1 mm (P)	5.0 mm (D) x 5.0 mm (P)	6.0 mm (D) x 6.0 mm (P)
8.5 mm	BOSS385	BOSS485	BOSS585	BOSS685
10 mm	BOSS310	BOSS410	BOSS510	BOSS610
11.5 mm	BOSS311	BOSS411	BOSS511	BOSS611
13 mm	BOSS313	BOSS413	BOSS513	BOSS613
15 mm	BOSS315	BOSS415	BOSS515	BOSS615
18 mm	BOSS318	BOSS418	N/A	N/A

T3 DCD

Длина	4.0 mm (D) x 3.4 mm (P)	5.0 mm (D) x 4.1 mm (P)	6.0 mm (D) x 5.0 mm (P)
8.5 mm	BNPS4385	BNPS5485	BNPS6585
10 mm	BNPS4310	BNPS5410	BNPS6510
11.5 mm	BNPS4311	BNPS5411	BNPS6511
13 mm	BNPS4313	BNPS5413	BNPS6513
15 mm	BNPS4315	BNPS5415	BNPS6515

T3 DSD Без Переключения Платформ

Длина	3.25 mm (D) x 3.4 mm (P)	4.0 mm (D) x 4.1 mm (P)	5.0 mm (D) x 5.0 mm (P)	6.0 mm (D) x 6.0 mm (P)
8.5 mm	BNSS385	BNSS485	BNSS585	BNSS685
10 mm	BNSS310	BNSS410	BNSS510	BNSS610
11.5 mm	BNSS311	BNSS411	BNSS511	BNSS611
13 mm	BNSS313	BNSS413	BNSS513	BNSS613
15 mm	BNSS315	BNSS415	BNSS515	BNSS615
18 mm	BNSS318	BNSS418	N/A	N/A

Официальный дистрибьютор ZIMMER DENTAL в России компания "Альтермедика"

г. Санкт-Петербург, ул. Учительская, д. 18, к. 1, лит А.

Тел.: 8 (800) 234 44 66;

г. Москва, Гранатный пер., д. 4.

Тел.: +7 (495) 198 08 18;

г. Ростов-на-Дону, Семашко пер., д. 114.

Тел.: +7 (863) 250 02 01;

e-mail: dental@altermedica.ru

www.zimmer.dental

www.altermedica.ru

www.zimvie.com